

меров (VI–VIII): имеет место плавление полимера, причем образуется типичная полимерная текстура. Она сохраняется до 216°, после чего происходит кажущаяся изотропизация, образуется ровная темная текстура. Выше 250° вновь возникает обычная полимерная текстура, которая и сохраняется до 270°, после чего происходит изотропизация. Термограмма полимера VIII ($n=3$) приведена на рисунке. В соответствии с данными наблюдения в поляризационном микроскопе первый пик можно отнести к плавлению полимера, второй, возможно, соответствует фазовому переходу в пределах ЖК-состояния, а третий связан с изотропизацией. Выше 275° происходит частичная деструкция полимера (что соответствует результатам, полученным для других исследованных полимеров этой серии. При охлаждении наблюдавшиеся пики не воспроизводятся.

Возникает вопрос, что происходит с полимером в интервале температур 216–250°. Возможно, образуется гомеотропная текстура. Однако при сдвиге покровного стекла в скрещенных поляроидах оптического микроскопа не наблюдается заметного просветления, что является обычным для гомеотропной текстуры. Можно предположить, что в данном случае образуется оптически изотропная смектическая D-фаза, характеризующаяся кубическим типом упаковки. Поведение полимера VIII ($n=3$) в поляризационном микроскопе вполне соответствует описанию поведения низкомолекулярных ЖК-соединений, имеющих этот тип мезофазы [4]. Известно всего несколько соединений, имеющих S_b тип мезофазы, причем все они имеют группы, способствующие сильным межмолекулярным взаимодействиям (циано-, нитро-, карбоксильные), и, что особенно интересно, подобный тип мезофазы известен и для 1, 2-бис-(4-n-алкоксибензоил) гидразинов, т. е. у соединений с группировками типа амидной.

Можно предположить, что у полимера VIII ($n=3$) в интервале температур 216–250° образуется смектическая D-фаза. Подобного поведения ни один другой из синтезированных нами полимеров не проявляет.

ЛИТЕРАТУРА

1. Vora R. A., Patel R. G. // Molec. Cryst. Liquid Cryst. 1984. V. 110. № 1–4. P. 109.
2. Котон М. М., Жукова Т. И., Флоринский Ф. С., Бессонов М. И., Кузнецов И. П., Лайус Л. А. // Журн. прикл. химии. 1977. № 10. С. 2354.
3. Bilibin A. Yu., Tencovtsev A. V., Skorokhodov S. S. // Makromolek. Chem. Rapid Commun. 1985. B. 6. № 2. S. 209.
4. Gray G. W., Goody J. W. Smectic Liquid Crystals-Textures and Structures. Glasgow, 1984. P. 68.

Институт высокомолекулярных соединений
АН СССР

Поступила в редакцию
22.VII.1988

УДК 541.64:542.952

СОПОЛИМЕРИЗАЦИЯ N-ВИНИЛПИРРОЛИДОНА С N-ГИДРОКСИФАЛИМИДНЫМИ ЭФИРАМИ АКРИЛОВОЙ, МЕТАКРИЛОВОЙ И КРОТОНОВОЙ КИСЛОТ

Назарова О. В., Соловский М. В., Денисов В. М.,
Панарин Е. Ф., Панасюк Е. М.

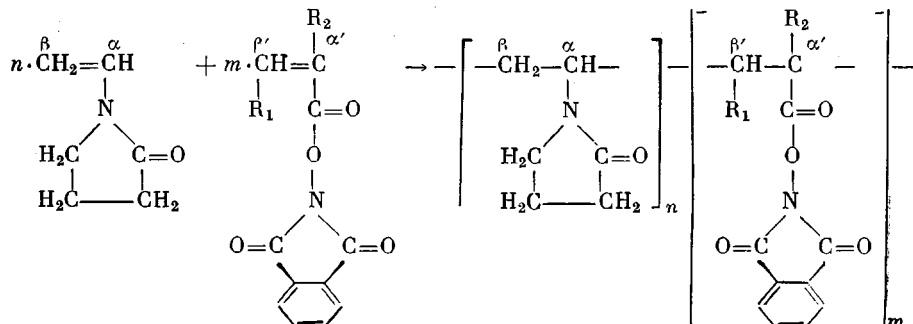
Сополимеры N-винилпирролидона (ВП), содержащие различные реакционноспособные группы, широко используются для модификации биологически активных веществ. Значительный интерес представляют сополимеры ВП с активированными эфирами непредельных карбоновых кислот, способные в мягких условиях присоединять амины, аминокислоты, пептиды, белки к полимеру амидной связью. Известны сополимеры ВП

Относительные активности ВП (M_1) и ГФИ-эфиров (M_2) в процессе сополимеризации

Мономер M_2	R_1	R_2	r_1	r_2
ГФИ-АК	H	H	0,018±0,018	0,033±0,027
ГФИ-МАК	H	CH ₃	0,025±0,016	2,28±0,32
ГФИ-КК	CH ₃	H	0,126±0,039	0,014±0,029

с N-гидрокисукцинимидным эфиром акриловой кислоты [1], с N-гидроксифталимидными (ГФИ) эфирами акриловой [2, 3], метакриловой и кротоновой кислот [3]. Возможно введение реакционноспособных эфирных групп в сополимеры ВП в результате полимераналогичных превращений [4]. Однако, процессы сополимеризации ВП с реакционноспособными эфирами не исследованы. Настоящая работа посвящена изучению сополимеризации ВП- с ГФИ-эфирами акриловой, метакриловой и кротоновой кислот и структуры полученных сополимеров.

ВП очищали двукратной перегонкой в вакууме над смолой КУ-2. ГФИ-эфиры непредельных кислот синтезировали по методике [3]. Процесс сополимеризации проводили в атмосфере аргона в ДМФА, очищенном по методу [5], при $60\pm0,1^\circ$ в присутствии ДАК. Сополимеры выделяли осаждением в диэтиловый эфир. Состав полученных продуктов определяли спектрофотометрически по полосе поглощения звеньев ГФИ-эфиров, $\lambda_{\text{макс}}=295$ нм. Для вычисления относительных активностей сомономеров и среднеквадратичных ошибок их определения применяли аналитический метод Езрилева-Брохиной-Роскина с использованием точного интегрального уравнения Майо-Льюиса [6]. Расчеты проводили на вычислительной машине ЭВМ ЕС-1033. Кинетику сополимеризации исследовали дилатометрически на начальных стадиях превращения. Спектры ЯМР ¹³C снимали в 8%-ном растворе ДМСО-d₆ при комнатной температуре на спектрометре «Bruker AM-500» (125 МГц). Хим. сдвиги определяли относительно сигнала растворителя и переводили в шкалу д. Сополимер имел следующее строение:



Исследованные мономерные ГФИ-эфиры обладают разной реакционной способностью в процессе сополимеризации с ВП. ГФИ-эфир кротоновой кислоты (ГФИ-КК), как и другие производные кротоновой кислоты, не склонен к гомополимеризации; найденное для него значение $r_2 \approx 0$ (таблица), при этом $r_1 < 1$. Таким образом, оба типа макрорадикалов имеют большую тенденцию к взаимодействию с мономером иной природы, чем со своим мономером. Введение в систему эфира кротоновой кислоты приводит к снижению скорости процесса, тем большему, чем выше содержание ГФИ-КК в смеси мономеров.

Как видно из таблицы, значения r_2 для ГФИ-эфиров акриловой (ГФИ-АК) и метакриловой (ГФИ-МАК) кислот различны. В системе ВП – ГФИ-МАК $r_2 > 1$, $r_1 \approx 0$, т. е. образующийся сополимер при малых степенях конверсии должен быть обогащен ГФИ-МАК при любом исходном соотношении мономеров. Для пары ВП – ГФИ-АК значения r_1 и r_2 близки к нулю, что соответствует образованию на начальной стадии процесса чередующегося сополимера для любого состава исходной мономерной

Рис. 1. Зависимость скорости сополимеризации от состава исходной смеси. $[M_1+M_2]=0,9$ моль/л; $[ДАК]=0,03$ моль/л. Сополимеры ВП с ГФИ-АК (1) и ВП с ГФИ-МАК (2)

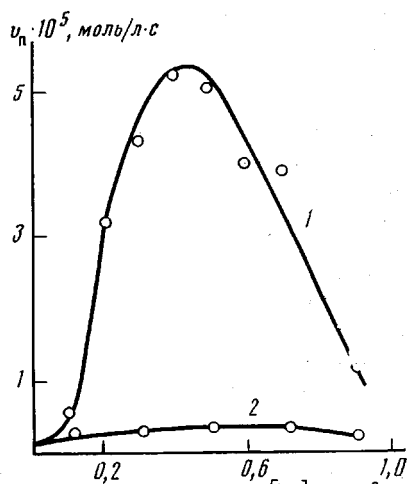


Рис. 1

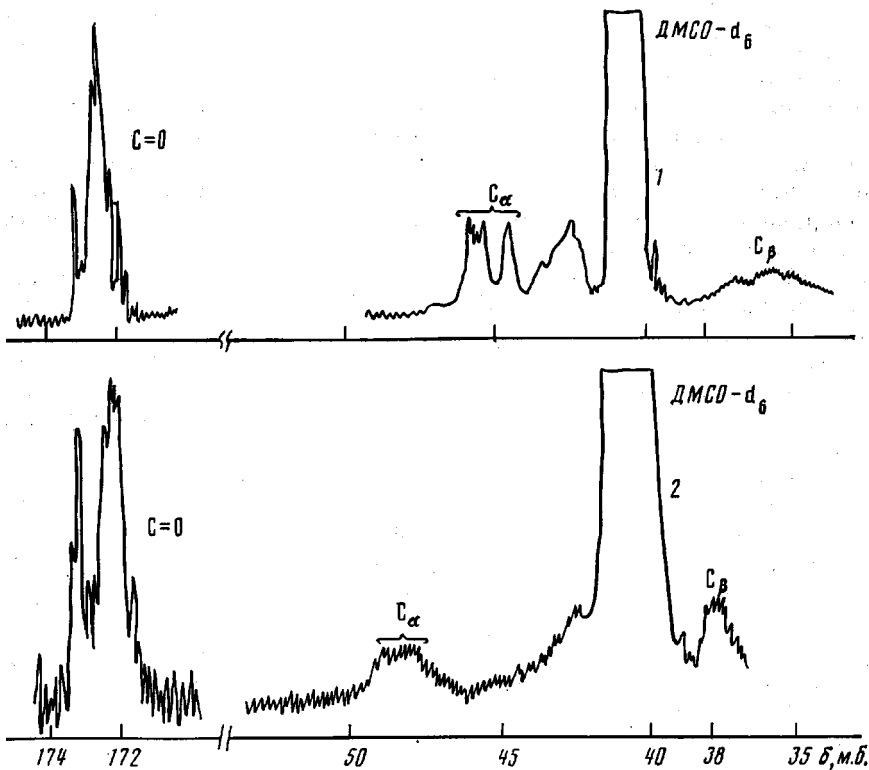


Рис. 2

смеси. Известные из литературы значения r_1 и r_2 для пары ВП(M_1) – MMA(M_2) различны у разных авторов, но всегда $r_2 > 1$, а $r_1 < 1$ или $r_1 \approx 0$ [7, 8]. Для системы ВП – метилакрилат найдены значения $r_2 = 0,27 \pm 0,16$ и $r_1 = 0,04 \pm 0,024$ [9].

Таким образом, существующие в литературе величины относительных активностей ВП и эфиров карбоновых кислот не противоречат найденным нами значениям r_1 и r_2 .

Скорость процессов сополимеризации ВП с ГФИ-АК и ГФИ-МАК

выше скорости гомополимеризации ВП. Наиболее высокие значения скорости найдены для пары ВП – ГФИ-АК. При этом кривая зависимости скорости от состава исходной мономерной смеси имеет максимум при $[M_2]=0,4$. Для $[M_2]=0,3-0,7$ скорость сополимеризации ВП с ГФИ-АК на порядок выше скорости процесса в системе ВП – ГФИ-МАК (рис. 1). Характер зависимости скорости сополимеризации от содержания эфира в мономерной смеси, содержащей ГФИ-АК, типичен для процессов чередующейся сополимеризации [10, 11].

Методом ЯМР ^{13}C исследована структура сополимеров ВП с ГФИ-АК и ГФИ-МАК, полученных при эквимольном содержании сомономеров в исходной смеси. При конверсии соответственно 77 и 89% сополимеры содержали 48,1 и 47,6 мол. % звеньев активированного эфира. В спектре сополимера ВП с ГФИ-МАК положение всех сигналов совпадает с положением сигналов в спектрах гомополимеров ВП и ГФИ-МАК. Это свидетельствует о наличии более или менее длинных последовательностей звеньев одного вида вдоль цепи, т. е. о существовании блоков. Сигналы атомов C_α и C_β звеньев ВП в сополимере с ГФИ-АК смешены в сторону слабых полей по сравнению с соответствующими сигналами гомополимера. При этом сигнал C_β в спектре сополимера более узкий, чем в спектре поливинилпирролидона (ПВП). Сигнал углерода карбонильной группы звена ВП в спектре сополимера сильнее расщеплен, чем в спектре ПВП (рис. 2). Положение сигналов звеньев ГФИ-АК в сополимере не отличается от положения сигналов ПГФИ-АК, но в сополимере сигнал C_β уже, чем в гомополимере. Указанные различия в спектрах ЯМР ^{13}C не дают однозначного подтверждения строгого чередования звеньев. Однако они свидетельствуют о том, что в сополимере ВП с ГФИ-АК в отличие от сополимера с ГФИ-МАК микроокружение звеньев отличается от микроокружения в гомополимерах, что может быть связано только с большей степенью чередования звеньев.

Методом ПМР и УФ-спектроскопии не удалось обнаружить наличия комплексообразования ВП с ГФИ-АК в ДМФА. Вместе с тем, как показано в работах [10, 11], образование комплексов сомономеров не является фактором, обязательным для процесса чередующейся сополимеризации. Возможно, обнаруженная тенденция к чередованию звеньев для системы ВП – ГФИ-АК обусловлена высокими скоростями перекрестного роста цепи.

Проведенное исследование показало, что путем сополимеризации ВП с ГФИ-эфирами возможно получение реакционноспособных сополимеров, различающихся по своей микроструктуре.

Авторы благодарят А. С. Хачатурова и А. И. Кольцова за участие в спектроскопической части работы и обсуждение результатов.

ЛИТЕРАТУРА

1. Ferruti P., Paoletti P. Pat. 4288452 USA // Chem. Abstrs. 1981. V. 94. № 12. P. 903.
2. Aquilera C., Schmidt E., Luderwald J. // Bol. Soc. Quim. Peru. 1984. V. 50. № 3. P. 250.
3. Назарова О. В., Соловский М. В., Панарин Е. Ф., Алексеева С. В. // Высокомолек. соед. А. 1989. Т. 31. № 2. С. 387.
4. Андреев С. М., Сидорова М. В., Ракова О. А., Цветков Д. Е., Фонина Л. А. // Биоорганическая химия. 1987. Т. 13. № 5. С. 696.
5. Лабораторная техника органической химии/Под ред. Кейла Б. М., 1966. С. 607.
6. Езриелев А. И., Брохина Э. Л., Роскин Е. С. // Высокомолек. соед. А. 1969. Т. 11. № 8. С. 1670.
7. Bork J. F., Coleman L. E. // J. Polymer Sci. 1960. V. 43. № 142. P. 413.
8. Шостаковский М. Ф., Хомутов А. М., Сидельковская Ф. П. // Изв. АН СССР. Отд. хим. н. 1961. № 12. С. 2222.
9. Young L. J. // J. Polymer Sci. 1961. V. 54. № 160. P. 411.
10. Петрова Т. Л., Смирнов А. И., Ратовский Г. В., Манчинвода В. Б., Зубов В. П. // Высокомолек. соед. А. 1986. Т. 28. № 12. С. 2612.
11. Рэтч М., Арнольд М. // Реакции в полимерных системах/Под ред. Иванчева С. С. Л., 1987. С. 174.